



تحلیل ارتعاشات آزاد پوسته‌های مخروطی تقویت شده با نانولوله‌های کربنی در محیط با دمای بالا

نقی آقایی، مصطفی طالبی توتی*

دانشکده فنی و مهندسی، دانشگاه صنعتی قم، قم، ایران

<p>تاریخچه داوری: دریافت: بازنگری: پذیرش: ارائه آنلاین:</p>	<p>چکیده: در این تحقیق، ارتعاشات آزاد پوسته‌های مخروطی کامپوزیتی تقویت شده با نانو لوله‌های کربنی در محیط با دمای بالا مورد مطالعه قرار گرفته است. توزیع نانو لوله‌های کربنی در راستای ضخامت پوسته به دو صورت یکنواخت و مدرج تابعی در نظر گرفته شده است. اثر بارگذاری حرارتی به صورت تنش‌های اولیه در نظر گرفته شده، معادلات حاکم با استفاده از اصل همپلتون، براساس تئوری کلاسیک و روابط کرنش-جابجایی غیرخطی فون کارمن بدست آمده است. معادلات مستخرج، با استفاده از روش گلرکین گسسته‌سازی شده است. در این تحقیق با استفاده از توابع تیر، فرکانس پوسته مخروطی به ازای شرایط مرزی مختلف بدست آمده است. در ابتدا نتایج حاضر با نتایج موجود اعتبار سنجی شده و سپس تاثیر پارامترهای مختلف از جمله بارگذاری حرارتی، مقدار کسر حجمی، نوع توزیع نانولوله‌های کربنی، شرایط مرزی مختلف و شرایط هندسی متفاوت بر روی فرکانس طبیعی سازه مورد بررسی قرار گرفته است. نتایج نشان از آن دارد که وجود بارگذاری حرارتی اولیه تاثیر قابل توجهی بر فرکانس طبیعی دارد.</p>
<p>کلمات کلیدی: ارتعاشات آزاد پوسته مخروطی نانولوله‌های کربنی توابع تیر دما</p>	<p>کلمات کلیدی: ارتعاشات آزاد پوسته مخروطی نانولوله‌های کربنی توابع تیر دما</p>

۱- مقدمه

آزاد پوسته مخروطی توسط بسیاری از محققین با روش‌های مختلف مورد مطالعه قرار گرفته است. میرزایی و کیانی [۱] تحلیل کماتش حرارتی پوسته مخروطی تقویت شده با نانولوله‌های کربنی را مورد مطالعه قرار دادند. در این تحقیق، توزیع نانولوله‌ها در راستای ضخامت و به صورت مدرج تابعی در نظر گرفته شده است و خواص ماده وابسته به دما می‌باشد. اجزای کرنش-تغییر مکان از تئوری مرتبه اول برشی و فرضیات غیر خطی فون کارمن بدست آمده است. جهت بدست آوردن نیروی منتسجه حرارتی، از تحلیل غشایی خطی استفاده شده است. هوا [۲] در تحقیقی به بررسی اثرات شرایط مرزی و خواص اورتوتروپیک روی فرکانس طبیعی ارتعاش آزاد پوسته مخروطی ناقص دوار پرداخت. در این تحقیق از روش گالرکین^۲ برای حل معادلات حرکت استفاده شده است. لی و همکاران [۳] به محاسبه فرکانس طبیعی و پاسخ ارتعاش اجباری پوسته مخروطی پرداخته‌اند. با استفاده از اصل همپلتون و روش ریلی-ریتز^۳ معادلات حرکت به دست آمده‌اند. فرکانس طبیعی پوسته مخروطی ناقص با حل مساله مقادیر ویژه معادلات حرکت محاسبه و پاسخ پایدار ارتعاش اجباری با حل معادلات حرکت بدست می‌آیند. حسینی و طالبی [۴] به بررسی کماتش پوسته‌های مخروطی تقویت شده با نانو لوله‌های کربنی تحت بار محوری پرداخته‌اند. معادلات حاکم با استفاده

در میان سازه‌های مهندسی، پوسته‌های مخروطی حائز اهمیت ویژه‌ای در بسیاری از کاربردها می‌باشند. این پوسته‌ها می‌توانند در صنعت لوله‌کشی، توربین‌ها و مخازن تحت فشار مورد استفاده قرار گیرند. همچنین هواپیماها، موشک‌ها، راکت‌ها، کشتی‌ها و زیردریایی‌ها مثال‌هایی از موارد کاربرد پوسته‌ها در صنایع هوافضا و مهندسی دریا می‌باشند. نمونه‌های ذکر شده در بالا تنها فهرست کوچکی از کاربردهای پوسته‌ها در مهندسی می‌باشد. هرچند با پیشرفت علوم و تحقیقات روی مواد مرکب و رفتار خوب مکانیکی آن‌ها، تا حدود زیادی مشکلات مواد و فلزات پوشش داده شده است، ولی باز هم با توجه به کاربردهای مختلف پوسته‌های مخروطی و یا استوانه‌ای در سرعت‌های بالا، دمای بالا و یا ضربات مکانیکی، نظرات را معطوف به مواد جدیدی برای جبران مشکلات موجود مواد مرکب نموده است. یکی از این فن‌آوری‌ها استفاده از نانو لوله‌های کربنی^۱ می‌باشد که آزمایش‌ها نشان داده است که نانولوله‌های کربنی از خواص فوق‌العاده‌ای برخوردارند. از لحاظ مقاومت کششی و ضریب کشسانی، این مواد یکی از محکم‌ترین موادی هستند که تاکنون شناخته شده‌اند. بنابراین انتظار می‌رود که استفاده از نانولوله‌های کربنی به عنوان فاز تقویتی در زمینه پلیمری، باعث بهبود خواص این کامپوزیت‌ها نسبت به نوع تقویت شده با الیاف گردد. ارتعاشات

2 Galerkin Method
3 Rayleigh-Ritz Method

1 Carbon Nanotubes

نویسنده عهده‌دار مکاتبات: talebi@qut.ac.ir

شده است. انصاری و همکاران [۱۳] به تجزیه و تحلیل کمانش پانل‌های مخروطی تقویت شده با نانولوله‌های کربنی تحت بار محوری فشاری با استفاده از روش مربعات تفاضلی متغیر پرداخته‌اند. توزیع نانولوله‌ها در راستای ضخامت در نظر گرفته شده است. اجزای کرنش از تئوری مرتبه اول برشی بدست آمده است. با استفاده از روش مربعات تفاضلی تعمیم یافته در جهت محوری و محیطی معادلات پایداری گسسته‌سازی شده است. جویبار و همکاران [۱۴]، به کمک روش عددی مربعات تفاضلی، به بررسی ارتعاشات پانل مخروطی تقویت شده با نانولوله‌های کربنی در محیط با دمای بالا پرداختند. در این تحقیق، شرایط مرزی، به کمک المان‌های فنر، مدل‌سازی گردیده‌اند و اثر شرایط مرزی مختلف در راستای مولد پانل بررسی نگردیده است.

با توجه به بررسی نویسندگان در ادبیات تحقیق، مشخص شد که تا کنون بررسی اثر شرایط مرزی مختلف بر ارتعاشات و دمای بحرانی کمانش پوسته مخروطی تقویت شده با نانولوله در محیط با دمای بالا، به روش تحلیلی مورد مطالعه قرار نگرفته است. در این تحقیق ارتعاشات آزاد پوسته‌های مخروطی ساخته شده از کامپوزیت‌های تقویت شده با نانولوله‌های کربنی مدرج تابعی تحت بارگذاری حرارتی اولیه مورد بررسی قرار گرفته است. به منظور محاسبه دمای بحرانی کمانش، دمای محیط به تدریج افزایش می‌یابد، به گونه‌ای که در یک درجه حرارت خاص که همان دمای بحرانی کمانش سازه می‌باشد، فرکانس طبیعی سازه صفر می‌گردد. از توابع تیر برای تقریب متغیرهای میدان استفاده می‌گردد، که با این تکنیک می‌توان با تقریب خوبی رفتار پوسته‌های مخروطی تحت شرایط مرزی مختلف را مورد تجزیه و تحلیل قرار داد. جهت حل کردن معادلات حاکم و محاسبه فرکانس طبیعی پوسته، از روش حل تحلیلی گالرکین استفاده شده است. در انتها نیز با ارائه و بررسی نتایج، تاثیر پارامترهای مختلف از جمله بارگذاری حرارتی، شرایط مرزی مختلف، نوع توزیع نانولوله، درصد کسر حجمی نانولوله و شرایط هندسی متفاوت بر روی فرکانس طبیعی سازه مورد بررسی قرار گرفته است.

۲- خواص مکانیکی کامپوزیت‌های تقویت شده با نانولوله‌های کربنی مدرج تابعی

فرض شده است که کامپوزیت تقویت شده با نانولوله‌های کربنی از ترکیب نانولوله‌های کربنی تک لایه و ماده زمینه ایزوتروپ تشکیل شده است. توزیع نانولوله‌های کربنی در راستای ضخامت بصورت یکنواخت و مدرج تابعی در نظر گرفته شده است. مدل‌های میکرومکانیکی متفاوتی برای پیش‌بینی خواص مکانیکی موثر کامپوزیت‌های تقویت شده با نانولوله‌های کربنی ارائه شده است که از آن جمله می‌توان به مدل موری تاناکا اشاره کرد. بر اساس قانون اختلاط تعمیم یافته، مدول یانگ و مدول برشی موثر به صورت رابطه (۱) ارائه می‌شوند [۵]:

از روش مربعات تفاضلی^۱ حل شده‌اند. سپس معادله استاندارد مقدار ویژه تشکیل و بار بحرانی کمانش محاسبه شده است. شن [۵] به بررسی کمانش حرارتی پوسته استوانه‌ای تقویت شده با نانولوله‌های کربنی پرداخته است. از روابط غیرخطی فون کارمن برای بدست آوردن اجزای کرنش استفاده شده است. انصاری و ترابی [۶] به بررسی کمانش حرارتی پوسته مخروطی تقویت شده با نانولوله‌های کربنی پرداخته‌اند. برای بدست آوردن اجزای کرنش از تئوری مرتبه اول برشی استفاده کرده‌اند و معادلات حاکم با استفاده از روش مربعات تفاضلی تعمیم یافته^۲ حل شده‌اند. شو [۷] به ارتعاشات آزاد پوسته مخروطی کامپوزیتی لایه‌ای پرداخته و از تئوری کلاسیک برای بدست آوردن اجزای کرنش استفاده کرده است. برای حل معادلات حاکم از روش مربعات تفاضلی تعمیم یافته استفاده شده است. انصاری و ترابی [۸] به حل ارتعاشات آزاد پوسته‌های استوانه‌ای ساخته شده از کامپوزیت‌های مدرج تابعی تقویت شده با نانولوله‌های کربنی تحت بارگذاری حرارتی و احاطه شده توسط بستر الاستیک پرداخته است. انصاری و همکاران [۹] ارتعاشات آزاد پوسته‌های کروی تقویت شده با نانولوله‌های کربنی قرار گرفته بر روی بستر الاستیک پرداخته‌اند. روابط کرنش-تغییر مکان بر اساس تئوری مرتبه اول برشی بدست آمده است. جم و کیانی [۱۰] به تجزیه و تحلیل کمانش خطی پوسته مخروطی تقویت شده با نانولوله‌های کربنی تک جداره تحت فشار عرضی پرداخته‌اند. خواص مادی بر اساس قانون اصلاح شده مخلوط بدست آمده است. بر اساس تئوری تغییر شکل برشی مرتبه اول و تئوری پوسته دائل و با استفاده از اصل جابجایی مجازی، معادلات حاکم استخراج گردید. جهت حل معادلات پایداری و بدست آوردن بار بحرانی کمانش، از روش مربعات تفاضلی تعمیم یافته و توابع مثلثاتی به ترتیب در راستای محوری و محیطی استفاده شد. انصاری و همکاران [۱۱] به تجزیه و تحلیل ارتعاشات آزاد پوسته‌های مخروطی، استوانه‌ای و صفحات حلقوی تقویت شده با نانولوله‌های کربنی با استفاده از روش مربعات تفاضلی متغیر^۳ پرداخته‌اند. بستر الاستیک به صورت مدل پسترناک در نظر گرفته شده است. در این تحقیق خواص مکانیکی مستقل از دما در نظر گرفته شده‌اند بر اساس تئوری مرتبه اول روابط کرنش تغییر مکان بدست آمده است. بر اساس اصل همپلتون و استفاده از روش مربعات تفاضلی متغیر فرم‌های کاهش یافته جرم و ماتریس سختی بدست آمده است. مهری و همکاران [۱۲] ارتعاشات آزاد و کمانش تحت فشار خارجی و فشار محوری پوسته مخروطی تقویت شده با نانولوله‌های کربنی به طور همزمان را مورد بررسی قرار داده‌اند. معادلات حرکت با استفاده از روابط غیر خطی گرین-لاگرانژ و فرضیه پوسته نووژیلو^۴ بدست آمده است. با در نظر گرفتن حل غشایی معادلات تعادل در حالت خطی، نیروهای پیش کمانش بدست آمده است. برای حل معادلات حاکم، یک حل نیمه تحلیلی بر اساس بسط مثلثاتی در جهت محیطی در نظر گرفته

- 1 Differential Quadrature Method (DQM)
- 2 Generalized Differential Quadrature (GDQ)
- 3 Variational Differential Quadrature (VDQ)
- 4 Novo-Zhilov

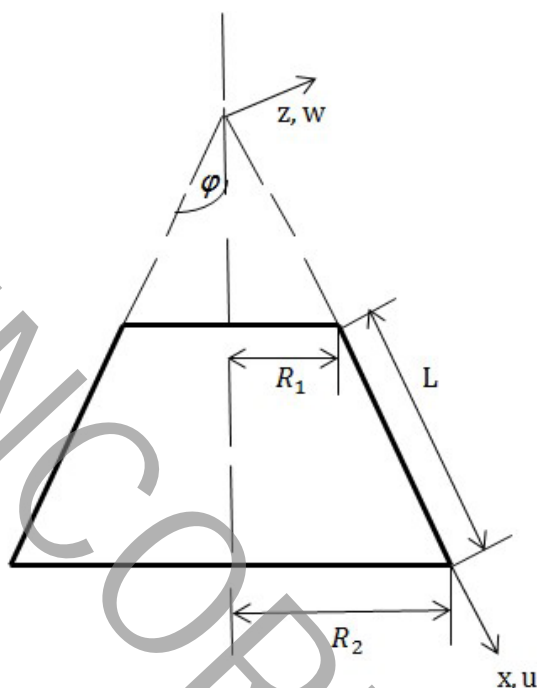


Fig. 1.

شکل ۱: نمای کلی از هندسه پوسته مخروطی.

$$\alpha_{11} = \frac{E_{11}^{CN} \alpha_{11}^{CN} V_{CN} + V_m E^m \alpha^m}{E_{11}^{CN} V_{CN} + V_m E^m}, \quad (5)$$

$$\alpha_{22} = (1 + \nu_{12}^{CN}) \alpha_{22}^{CN} V_{CN} + (1 + \nu^m) \alpha_m V_m - \nu_{12} \alpha_{11}$$

که در این روابط α_{11}^{CN} ، α_{22}^{CN} و α_m به ترتیب بیانگر ضریب انبساط حرارتی نانولوله و ماده زمینه بوده و ν_{12}^{CN} و ν^m نیز به ترتیب ضریب پواسون نانولوله و ماده زمینه می باشد.

۳- روابط حاکم

پوسته مخروطی تقویت شده با نانولوله های کربنی را با شعاع کوچک R_1 شعاع بزرگ R_2 ، ضخامت h و طول L در نظر بگیرید که در شکل ۱ نشان داده شده است. که مختصه x در راستای محوری، مختصه θ در راستای محیطی و مختصه z در راستای عمود بر سطح میانی و به سمت خارج پوسته می باشد.

کرنش های سطح میانی و تغییرات انحنای برای یک پوسته مخروطی ناقص بر اساس تئوری کلاسیک انجام شده و مدل غیرخطی فون کارمن در

روابط جابجایی-کرنش استفاده به صورت رابطه (۶) می باشد [۵ و ۷]:

$$\begin{aligned} \varepsilon_x &= \varepsilon_{0x} + z k_x, \\ \varepsilon_\theta &= \varepsilon_{0\theta} + z k_\theta, \\ \varepsilon_{x\theta} &= \varepsilon_{0x\theta} + z k_{x\theta} \end{aligned} \quad (6)$$

که پارامترها مختلف در رابطه (۶) به صورت زیر است:

$$E_{11} = \eta_1 V_{CN} E_{11}^{CN} + V_m E^m, \quad \frac{\eta_2}{E_{22}} = \frac{V_{CN}}{E_{22}^{CN}} + \frac{V_m}{E^m}, \quad \frac{\eta_3}{G_{12}} = \frac{V_{CN}}{G_{12}^{CN}} + \frac{V_m}{G^m} \quad (1)$$

که E_{11}^{CN} ، E_{22}^{CN} و G_{12}^{CN} به ترتیب مدول های یانگ و برشی نانولوله های کربنی می باشد، E^m و G^m خواص متناظر به زمینه می باشند. پارامتر $\eta_i (i=1,2,3)$ کارایی نانولوله کربنی می باشد. این پارامتر به این دلیل که انتقال بار بین ماتریس و نانولوله به صورت کامل صورت نمی گیرد، در رابطه (۱) وارد می شود و مقدار آن با تطابق مدول های الاستیسیته به دست آمده از نتایج شبیه سازی دینامیک مولکولی و قانون مخلوطها تعیین می شود. همچنین V_{CN} نسبت حجمی نانولوله کربنی و V_m نسبت حجمی زمینه می باشد که رابطه $V_{CN} + V_m = 1$ نیز ارضا می نماید. علاوه بر توزیع یکنواخت، سه نوع توزیع مدرج تابعی اعم از $FG-A$ ، $FG-V$ و $FG-X$ ، سطح خارجی پوسته از ماده زمینه و سطح داخلی آن متشکل از نانولوله کربنی می باشد. در توزیع $FG-V$ سطح میانی متشکل از نانولوله کربنی و سطح خارجی و داخلی از ماده زمینه تشکیل شده است. در توزیع نوع $FG-X$ سطح میانی متشکل از ماده زمینه و سطح داخلی و خارجی متشکل از نانولوله کربنی می باشد. کسر حجمی توزیع نانولوله کربنی در راستای ضخامت برای حالت های مختلف به صورت رابطه (۲) می باشد [۸]:

$$\begin{aligned} UD : V_{CN} &= V_{CN}^*; FG-A : V_{CN} = -\left(\frac{2z-h}{h}\right) V_{CN}^*; \\ FG-V : V_{CN} &= \left(\frac{2z+h}{h}\right) V_{CN}^*; \\ FG-X : V_{CN} &= \left(-\frac{4|z|}{h}\right) V_{CN}^* \end{aligned} \quad (2)$$

که در رابطه بالا V_{CN}^* به صورت رابطه (۳) تعریف می شود:

$$V_{CN}^* = w_{CN} / w_{CN} + \left(\frac{\rho_{CN}}{\rho_m}\right) - \left(\frac{\rho_{CN}}{\rho_m}\right) w_{CN} \quad (3)$$

که w_{CN} کسر جرمی نانولوله ρ_{CN} چگالی جرمی نانولوله و ρ_m چگالی ماده می باشد و نسبت پواسون و چگالی جرمی به صورت رابطه (۴) تعریف می شود.

$$\nu_{12} = V_{CN} \nu_{12}^{CN} + V_m \nu_{12}^m, \quad \rho = V_{CN} \rho_{CN} + V_m \rho_m \quad (4)$$

ضریب انبساط حرارتی طولی و عرضی نانولوله های کربنی به ترتیب به صورت رابطه (۵) به دست می آید [۵]:

$$\begin{bmatrix} N_x^T \\ N_\theta^T \end{bmatrix} = \int_{-\frac{h}{2}}^{\frac{h}{2}} \begin{bmatrix} Q_{11} & Q_{12} \\ Q_{12} & Q_{22} \end{bmatrix} \begin{bmatrix} \alpha_{11} \\ \alpha_{22} \end{bmatrix} \Delta T dz ; \quad (13)$$

$$\begin{bmatrix} M_x^T \\ M_\theta^T \end{bmatrix} = \int_{-\frac{h}{2}}^{\frac{h}{2}} \begin{bmatrix} Q_{11} & Q_{12} \\ Q_{12} & Q_{22} \end{bmatrix} \begin{bmatrix} \alpha_{11} \\ \alpha_{22} \end{bmatrix} \Delta T z dz$$

۴- معادلات حاکم

معادلات حرکت پوسته مخروطی تقویت شده با نانولوله کربنی که تحت بارگذاری حرارتی اولیه قرار گرفته، با استفاده از اصل همپلتون استخراج می‌گردد. در صورتی که منتجه نیروهای حرارتی اولیه N_x^0 و $N_{x\theta}^0$ و N_θ^0 تعریف شود، انرژی کرنشی پوسته مخروطی به صورت روابط (۱۴) و (۱۵) می‌باشد.

$$U = \frac{1}{2} \int_{-\frac{h}{2}}^{\frac{h}{2}} \int_0^{L2\pi} \int_0^{2\pi} (\sigma_x \varepsilon_x + \sigma_\theta \varepsilon_\theta + \sigma_{x\theta} \varepsilon_{x\theta}) R(x) dz dx d\theta \quad (14)$$

$$U_T = \frac{1}{2} \int_0^{L2\pi} \int_0^{2\pi} (N_x^0 \varepsilon_x + N_\theta^0 \varepsilon_\theta + N_{x\theta}^0 \varepsilon_{x\theta}) R(x) dx d\theta \quad (15)$$

که در رابطه بالا به ترتیب U و U_T انرژی کرنشی و انرژی کرنشی به واسطه بارگذاری حرارتی اولیه همچین انرژی جنبشی به صورت رابطه (۱۶) بیان می‌گردد:

$$T = \frac{1}{2} \int_{-\frac{h}{2}}^{\frac{h}{2}} \int_0^{L2\pi} \int_0^{2\pi} \rho (u^2 + v^2 + w^2) R(x) dz dx d\theta \quad (16)$$

اصل همپلتون به صورت رابطه (۱۷) بیان می‌شود:

$$\int_{t_1}^{t_2} \delta(U + U_T - T) dt = 0 \quad (17)$$

با اعمال اصل همپلتون معادله خطی حرکت به صورت رابطه (۱۸) حاصل می‌شود:

$$\begin{aligned} \frac{\partial N_x}{\partial x} + \frac{\sin(\varphi)}{R(x)} (N_x - N_\theta) + \frac{1}{R(x)} \frac{\partial N_{x\theta}}{\partial \theta} = \rho_t \frac{\partial^2 u_0}{\partial t^2} \\ \frac{1}{R(x)} \frac{\partial N_\theta}{\partial \theta} + \frac{\partial N_{x\theta}}{\partial x} + \frac{2\sin(\varphi)N_{x\theta}}{R(x)} + \frac{\cos(\varphi)}{R(x)} Q_\theta = \rho_t \frac{\partial^2 v_0}{\partial t^2} \\ - \left(\frac{\cos(\varphi)}{R(x)} N_\theta \right) + \frac{\partial Q_x}{\partial \alpha} + \frac{\sin(\varphi)}{R(x)} Q_x + \frac{1}{R(x)} \frac{\partial Q_\theta}{\partial \theta} + \\ N_x^0 \left(\frac{\sin(\varphi)}{R(x)} \frac{\partial w_0}{\partial x} + \frac{\partial^2 w_0}{\partial x^2} \right) = \rho_t \frac{\partial^2 w_0}{\partial t^2} Q_x = \frac{M_x \sin(\varphi)}{R(x)} + \\ \frac{\partial M_x}{\partial x} + \frac{1}{R(x)} \frac{\partial M_{x\theta}}{\partial \theta} - \frac{M_\theta \sin(\varphi)}{R(x)}, Q_\theta = \frac{1}{R(x)} \frac{\partial M_\theta}{\partial \theta} + \\ \frac{\partial M_{x\theta}}{\partial x} + \frac{2M_{x\theta} \sin(\varphi)}{R(x)} \end{aligned} \quad (18)$$

$$\begin{aligned} \varepsilon_{0x} &= \frac{\partial u_0}{\partial x} + \frac{1}{2} \left(\frac{\partial w_0}{\partial x} \right)^2, \\ \varepsilon_{0\theta} &= \frac{1}{R(x)} \frac{\partial v_0}{\partial \theta} + \frac{u_0 \sin(\varphi)}{R(x)} + \frac{w_0 \cos(\varphi)}{R(x)} + \frac{1}{2R(x)^2} \left(\frac{\partial w_0}{\partial \theta} \right)^2 \\ \varepsilon_{0x\theta} &= \frac{\partial v_0}{\partial x} + \frac{1}{R(x)} \frac{\partial u_0}{\partial \theta} - \frac{v_0 \sin(\varphi)}{R(x)} + \frac{1}{R(x)} \frac{\partial w_0}{\partial \theta} \frac{\partial w_0}{\partial x}, \\ k_x &= \frac{\partial \varphi_x}{\partial x}, \varphi_x = -\frac{\partial w_0}{\partial x}, k_\theta = \frac{1}{R(x)} \frac{\partial \varphi_\theta}{\partial \theta} + \frac{\varphi_\theta \sin(\varphi)}{R(x)}, \\ \tau &= \frac{\partial \varphi_\theta}{\partial \alpha} + \frac{1}{R(x)} \frac{\partial \varphi_\alpha}{\partial \theta} - \frac{\varphi_\theta \sin(\varphi)}{R(x)}, \\ \varphi_\theta &= \frac{v_0 \cos(\varphi)}{R(x)} - \frac{1}{R(x)} \frac{\partial w_0}{\partial \theta} \end{aligned} \quad (19)$$

در رابطه (۱۹)، ε_{0x} ، $\varepsilon_{0\theta}$ و $\varepsilon_{0x\theta}$ به ترتیب بیانگر کرنش غشایی محوری، محیطی و برشی بوده و k_x ، k_θ و τ نیز تغییر در انحنا می‌باشند. براساس قانون هوک، تنش‌ها بر اساس مولفه‌های خطی کرنش به صورت رابطه (۸) به دست می‌آیند:

$$\begin{bmatrix} \sigma_x \\ \sigma_\theta \\ \sigma_{x\theta} \end{bmatrix} = \begin{bmatrix} \bar{Q}_{11} & \bar{Q}_{12} & 0 \\ \bar{Q}_{12} & \bar{Q}_{22} & 0 \\ 0 & 0 & \bar{Q}_{66} \end{bmatrix} \left(\begin{bmatrix} \varepsilon_x \\ \varepsilon_\theta \\ \gamma_{x\theta} \end{bmatrix} - \begin{bmatrix} \alpha_{11} \\ \alpha_{22} \\ 0 \end{bmatrix} \Delta T \right) \quad (8)$$

که ضرایب \bar{Q}_{ij} به صورت رابطه (۹) بیان می‌شود:

$$\bar{Q}_{11} = \frac{E_{11}}{1-\nu_{12}\nu_{21}}; \bar{Q}_{22} = \frac{E_{22}}{1-\nu_{12}\nu_{21}}; \bar{Q}_{12} = \frac{E_{11}\nu_{21}}{1-\nu_{12}\nu_{21}}; \bar{Q}_{66} = G_{12} \quad (9)$$

با توجه به تنش‌های ارائه شده در رابطه (۸) نیروهای منتجه به

صورت رابطه (۱۰) بیان می‌شوند:

$$\begin{bmatrix} N_x \\ N_\theta \\ N_{x\theta} \end{bmatrix} = \int_{-\frac{h}{2}}^{\frac{h}{2}} \begin{bmatrix} \sigma_x \\ \sigma_\theta \\ \sigma_{x\theta} \end{bmatrix} dz; \begin{bmatrix} M_x \\ M_\theta \\ M_{x\theta} \end{bmatrix} = \int_{-\frac{h}{2}}^{\frac{h}{2}} \begin{bmatrix} \sigma_x \\ \sigma_\theta \\ \sigma_{x\theta} \end{bmatrix} z dz \quad (10)$$

در نتیجه منتجه‌های نیرو و ممان به صورت رابطه (۱۱) بیان می‌گردند:

$$\begin{bmatrix} N_x \\ N_\theta \\ N_{x\theta} \\ M_x \\ M_\theta \\ M_{x\theta} \end{bmatrix} = \begin{bmatrix} A_{11} & A_{12} & 0 & B_{11} & B_{12} & 0 \\ A_{12} & A_{22} & 0 & B_{12} & B_{22} & 0 \\ 0 & 0 & A_{66} & 0 & 0 & B_{66} \\ B_{11} & B_{12} & 0 & D_{11} & D_{12} & 0 \\ B_{12} & B_{22} & 0 & D_{12} & D_{22} & 0 \\ 0 & 0 & B_{66} & 0 & 0 & D_{66} \end{bmatrix} \begin{bmatrix} \varepsilon_{0x} \\ \varepsilon_{0\theta} \\ \varepsilon_{0x\theta} \\ k_x \\ k_\theta \\ \tau \end{bmatrix} - \begin{bmatrix} N_x^T \\ N_\theta^T \\ 0 \\ M_x^T \\ M_\theta^T \\ 0 \end{bmatrix} \quad (11)$$

همچنین ضرایب A_{ij} ، B_{ij} و D_{ij} به صورت رابطه (۱۲) بیان می‌شود:

$$A_{ij} = \int_{-\frac{h}{2}}^{\frac{h}{2}} \bar{Q}_{ij} dz; B_{ij} = \int_{-\frac{h}{2}}^{\frac{h}{2}} \bar{Q}_{ij} z dz; D_{ij} = \int_{-\frac{h}{2}}^{\frac{h}{2}} \bar{Q}_{ij} z^2 dz \quad (12)$$

همچنین منتجه نیرو و ممان به واسطه بارگذاری حرارتی به صورت

رابطه (۱۳) تعریف می‌شود:

به محاسبات پیچیده برای انواع شرایط مرزی مختلف بدست آورد. از این رو با حل معادله حاکم بر تیر تابعی موسوم به تابع تیر بدست آمده و مورد استفاده قرار می‌گیرد.

$$\begin{aligned} \varnothing(x) = & a_1 \cosh\left(\frac{\gamma_m x}{L}\right) + a_2 \cos\left(\frac{\gamma_m x}{L}\right) - \\ & s_m \left(a_3 \sinh\left(\frac{\gamma_m x}{L}\right) + a_4 \sin\left(\frac{\gamma_m x}{L}\right) \right) \end{aligned} \quad (21)$$

که a_i ها ثوابتی هستند که بنا به شرایط مرزی می‌توانند مقادیر صفر، یک یا منفی یک را اختیار نمایند. λ_m نیز ریشه‌های معادلات غیر جبری بدست آمده از شرایط مرزی و ζ_m پارامترهای مربوط به λ_m هستند. مقادیر a_i ، λ_m و ζ_m در جدول ۱ برای انواع شرایط مرزی مختلف ارائه شده‌اند. با جایگذاری روابط (۲۰) در معادلات (۱۸) و اعمال روش گلرکین درحوزه مکان روابط زیر حاصل می‌شوند.

$$\begin{aligned} \int_0^{L/2\pi} \int_0^{L/2\pi} R_1 \psi_1 R(x) dx d\theta = 0, \quad \int_0^{L/2\pi} \int_0^{L/2\pi} R_2 \psi_2 R(x) dx d\theta = 0, \\ \int_0^{L/2\pi} \int_0^{L/2\pi} R_3 \psi_3 R(x) dx d\theta = 0 \end{aligned} \quad (22)$$

در روابط (۲۲) توابع وزن ψ_1 ، ψ_2 و ψ_3 به صورت رابطه (۲۳) تعریف می‌شود:

$$\psi_1 = \frac{\partial u_0}{\partial c_1}, \quad \psi_2 = \frac{\partial v_0}{\partial c_2}, \quad \psi_3 = \frac{\partial w_0}{\partial c_3} \quad (23)$$

با ضرب معادلات اول، دوم و سوم رابطه (۲۰) به ترتیب در w و v ، u حاصله و برخی ساده‌سازیها، رابطه مقدار ویژه زیر حاصل می‌گردد.

جدول ۱: مقادیر a_i ، γ_m و s_m برای انواع شرایط مرزی مختلف [۱۵].

Table 1.

s_m	λ_m	$a_i (i=1,2,3,4)$	شرایط مرزی
1	$m\pi$	$a_1=0, a_2=0$ $a_3=0, a_4=-1$	تکیه‌گاه ساده-تکیه‌گاه ساده
$\frac{\cosh(\gamma_m) - \cos(\gamma_m)}{\sinh(\gamma_m) - \sin(\gamma_m)}$	$\cosh(\gamma_m)\cos(\gamma_m)=1$	$a_1=1, a_2=-1$ $a_3=1, a_4=-1$	تکیه‌گاه گیردار-تکیه‌گاه گیردار
$\frac{\cosh(\gamma_m) - \cos(\gamma_m)}{\sinh(\gamma_m) - \sin(\gamma_m)}$	$\tan(\gamma_m)=\tanh(\gamma_m)$	$a_1=1, a_2=-1$ $a_3=1, a_4=-1$	تکیه‌گاه ساده-گیردار
$\frac{\cosh(\gamma_m) - \cos(\gamma_m)}{\sinh(\gamma_m) + \sin(\gamma_m)}$	$\cosh(\gamma_m)\cos(\gamma_m)=-1$	$a_1=1, a_2=-1$ $a_3=1, a_4=-1$	تکیه‌گاه آزاد-گیردار
$\frac{\cosh(\gamma_m) - \cos(\gamma_m)}{\sinh(\gamma_m) - \sin(\gamma_m)}$	$\tan(\gamma_m)=\tanh(\gamma_m)$	$a_1=1, a_2=1$ $a_3=1, a_4=1$	تکیه‌گاه ساده-آزاد

منتجه نیروهای حرارتی اولیه ($N_{x\theta}^0$ و N_θ^0) با استفاده از تحلیل غشایی معادلات و در نظر گرفتن بارگذاری حرارتی به صورت رابطه (۱۹) حاصل می‌شوند [۶]:

$$N_x^0 = \frac{-L \sin(\varphi)}{R(x) \ln\left(1 + \frac{L \sin(\varphi)}{R_1}\right)} \left(N_x^T - \frac{A_{12}}{A_{22}} N_\theta^T \right), \quad (19)$$

$$N_\theta^0 = 0, \quad N_{x\theta}^0 = 0$$

۵- حل معادلات حرکت به روش گلرکین و تحلیل ارتعاشات آزاد

در غیاب بارهای خارجی و با در نظر گرفتن این مطلب که در یک فرکانس طبیعی، هر نقطه در سیستم الاستیک حرکتی هارمونیک دارد، می‌توان میدان جابجایی را به صورت رابطه (۲۰) بیان کرد:

$$\begin{aligned} u_0(x, \theta, t) = & A \frac{\partial \varnothing(x)}{\partial x} \cos(n\theta) \cos(\omega t), \\ v_0(x, \theta, t) = & B \varnothing(x) \sin(n\theta) \cos(\omega t), \\ w_0(x, \theta, t) = & C \varnothing(x) \cos(n\theta) \cos(\omega t) \end{aligned} \quad (20)$$

که در رابطه (۲۰)، A ، B و C ضرایب ثابت می‌باشند و n تعداد نیم موج در راستای محیطی، ω فرکانس طبیعی و $\varnothing(x)$ توابع تیر می‌باشد. برای متغیرهای محوری مولفه جابجایی باید توابعی تعریف گردند که شرایط مرزی مشابهی با شرایط مرزی پوسته مخروطی داشته باشد، یک انتخاب مناسب استفاده از توابع تیر اویلر می‌باشد. این انتخاب این امکان را می‌دهد که بتوان تحلیل ارتعاشات آزاد پوسته مخروطی را بدون درگیر شدن

همچنین توزیع درجه حرارت در راستای ضخامت پوسته یکنواخت در نظر گرفته شده است.

$$\begin{bmatrix} I_1\omega^2 + k_{11} & k_{12} & k_{13} \\ k_{21} & I_1\omega^2 + k_{22} & k_{23} \\ k_{31} & k_{32} & I_1\omega^2 + k_{33} \end{bmatrix} \begin{Bmatrix} A \\ B \\ C \end{Bmatrix} = 0 \quad (24)$$

که عملگرهای L_{ij} در پیوست ۱ آمده است.

پس از انجام انتگرال گیری دستگاه معادلات همگن (۲۵) بدست می آید.

$$\begin{bmatrix} I_1\omega^2 + k_{11} & k_{12} & k_{13} \\ k_{21} & I_1\omega^2 + k_{22} & k_{23} \\ k_{31} & k_{32} & I_1\omega^2 + k_{33} \end{bmatrix} \begin{Bmatrix} A \\ B \\ C \end{Bmatrix} = 0 \quad (25)$$

که ضرایب k_{ij} در پیوست ۱ آمده است.

واضح است که برای شرط جواب غیر صفر، دترمینان ماتریس ضرایب باید مساوی صفر باشد. در نتیجه با محاسبه و برابر صفر قرار دادن دترمینان، فرکانس طبیعی مدنظر حاصل می گردد.

۶- بحث و نتایج عددی

در این بخش نتایج عددی برای بررسی ارتعاشات پوسته های مخروطی تقویت شده با نانولوله های کربنی مدرج تابعی که تحت بار حرارتی اولیه بوده ارائه شده است. ماده پلی متیل متاکریلت به عنوان ماده زمینه انتخاب می شود که خواص آن به صورت زیر می باشد [۸]:

$$E^m = 2.5 \text{ GPa}; G^m = 0.933 \text{ GPa}; \nu^m = 0.34; \rho^m = 1150 \frac{\text{kg}}{\text{m}^3}; \alpha^m = 45 \times 10^{-6} \frac{1}{\text{K}} \quad (26)$$

همچنین نانولوله های تک لایه به عنوان تقویت کننده کامپوزیت لحاظ می شود که با در نظر گرفتن ضخامت موثر خواص آن به صورت جدول ۲ در نظر گرفته می شود [۱۶]:

در رابطه (۲۷) ضرایب η_1 ، η_2 و η_3 برای سه مقدار مختلف کسر حجمی آورده شده است.

$$\begin{aligned} V_{CN}^* = 12\%, \eta_1 = 0.137; \eta_2 = 1.022; \eta_3 = 0.715; \\ V_{CN}^* = 17\%, \eta_1 = 0.142; \eta_2 = 1.626; \eta_3 = 1.138 \\ V_{CN}^* = 28\%, \eta_1 = 0.141; \eta_2 = 1.585; \eta_3 = 1.109 \end{aligned} \quad (27)$$

جدول ۲: خواص مادی وابسته به دما مربوط به نانولوله کربنی تک جداره (۱۰، ۱۰).

Table 2.

$\alpha_{22}^{CN} (10^{-6} \frac{1}{K})$	$\alpha_{11}^{CN} (10^{-6} \frac{1}{K})$	$G_{12}^{CN} (\text{TPa})$	$E_{22}^{CN} (\text{TPa})$	$E_{11}^{CN} (\text{TPa})$	دما (K)
۵/۱۶۸۲	۳/۴۵۸۴	۱/۹۴۴۵	۷/۰۸۰۰	۵/۶۴۶۶	۳۰۰
۵/۰۱۸۹	۴/۵۳۶۱	۱/۹۶۴۳	۷/۰۸۰۰	۵/۵۳۰۸	۵۰۰
۴/۸۹۴۳	۴/۶۶۷۷	۱/۹۶۴۴	۶/۸۶۴۱	۵/۴۷۴۴	۷۰۰

جدول ۳: مقایسه فرکانس بی بعد $\Omega = \omega R_2 \sqrt{\rho(1-\nu^2)}/E$ برای پوسته مخروطی ایزوتروپیک.
($E=70 \text{ GPa}$; $h=0/004m$, $h/R_2=0/01 \text{ L sin}\phi / R_2=0/25$, $\nu=0/3$)

Table 3.

$\phi=30^\circ$		$\phi=30^\circ$		$\phi=30^\circ$		n
کار حاضر	مرجع [۲]	کار حاضر	مرجع [۲]	کار حاضر	مرجع [۲]	
۰/۶۳۴۱	۰/۶۳۴۸	۰/۷۶۳۸	۰/۷۶۵۵	۰/۸۴۰۴	۰/۸۴۲۰	۲
۰/۶۲۳۵	۰/۶۲۳۸	۰/۷۲۰۹	۰/۷۲۱۲	۰/۷۳۷۳	۰/۷۳۷۶	۳
۰/۶۱۴۳	۰/۶۱۴۵	۰/۶۷۳۵	۰/۶۳۶۹	۰/۶۳۶۶	۰/۶۳۶۲	۴
۰/۶۱۱۰	۰/۶۱۱۱	۰/۶۳۲۳	۰/۶۳۲۳	۰/۵۵۳۴	۰/۵۵۲۸	۵
۰/۶۱۶۹	۰/۶۱۷۱	۰/۶۰۳۵	۰/۶۰۳۵	۰/۴۹۵۳	۰/۴۹۵۰	۶
۰/۶۳۴۴	۰/۶۳۵۰	۰/۵۹۱۸	۰/۵۹۲۱	۰/۴۶۵۹	۰/۴۶۶۱	۷

جدول ۴: مقایسه پارامتر فرکانس بی بعد $\Omega = \omega R_1^2 / h \sqrt{\rho^m / E^m}$ برای پوسته مخروطی ناقص کامپوزیتی با تکیه‌گاه گیر دار.
($E=70 \text{ GPa}$; $h=0/004m$, $h/R_2=0/01 \text{ L sin}\phi / R_2=0/25$, $\nu=0/25$, $E_x/E_\theta=15$, $G_{x\theta}=0/5E_\theta$)

Table 4.

$\frac{h}{R_1}$	Ω	
	مرجع [۷]	کار حاضر
۰/۰۱	۰/۲۹۸۶(۷)	۰/۳۰۱(۷)
۰/۰۲	۰/۴۶۲۵(۵)	۰/۴۶۶۵(۵)
۰/۰۳	۰/۶۲۱۰(۵)	۰/۶۲۴۰(۵)
۰/۰۴	۰/۷۷۵۲(۴)	۰/۷۷۹۲(۴)

جدول ۵: مقایسه دمای بحرانی کماتش برای پوسته استوانه‌ای ($L/R_1=2$, $R_1/h=40, SS$)

Table 5.

V_{CN}^*	توزیع نانولوله	مرجع [۵]		کار حاضر
		مرجع [۶]	$T_{cr}(K)$	
۰/۱۲	UD	۳۷۶/۵۵	۳۷۸/۶۴	۳۷۳/۷
	FGV	۳۷۴/۶۴	۳۷۷/۵۳	۳۷۲/۶
	FGA	۳۶۶/۱۲	۳۶۹/۴۷	۳۶۳/۵۸
	FGX	۳۸۸/۵۶	۳۸۹/۵۳	۳۸۵/۱۳
۰/۱۷	UD	۳۸۳/۹۰	۳۸۹/۰۲	۳۸۲/۹۳
	FGV	۳۸۳/۰۱	۳۸۸/۴۸	۳۸۲/۶۲
	FGA	۳۷۳/۹۰	۳۸۰/۰۶	۳۷۳/۳۵
	FGX	۳۹۷/۲۱	۴۰۱/۲۱	۳۹۵/۴۳

جدول ۶: تاثیر توزیع نانو لوله‌های کربنی و طول پوسته مخروطی بر دمای بحرانی کماتش ($R/h=50, \varphi=30^\circ, h=1mm, CC$)

Table 6.

V_{CN}^*	توزیع نانو لوله	$L = \sqrt{400R_1h}$		$L = \sqrt{300R_1h}$	
		مرجع [۱]	کار حاضر	مرجع [۱]	کار حاضر
۰/۱۲	UD	۳۹۴/۰۶	۳۹۷/۴۱	۴۰۷/۷۵	۴۱۱/۱۳
	FGX	۴۰۷/۶۱	۴۱۱/۴۸	۴۲۸/۰۷	۴۳۳/۸۶
	FGV	۳۸۸/۱۶	۳۹۳/۲۹	۳۹۷/۹۴	۴۰۲/۵۷
	FGA	۳۸۲/۲۵	۳۸۶/۳۵	۳۹۱/۷۷	۳۹۵/۹۱
۰/۱۷	UD	۴۰۲/۴۸	۴۰۷/۹۶	۴۱۵/۹۵	۴۱۹/۸۸
	FGX	۴۱۷/۳۳	۴۲۱/۸۵	۴۳۷/۴۱	۴۴۱/۹۴
	FGV	۳۹۶/۸۲	۴۰۰/۳۵	۴۰۶/۵۵	۴۰۹/۹۸
	FGA	۳۹۰/۴۴	۳۹۴/۹۶	۳۹۹/۹۹	۴۰۳/۷۵

جدول ۷: مقایسه پارامتر فرکانس بی بعد $\Omega = \omega R_1^2 / h \sqrt{\rho^m / E^m}$ پوسته مخروطی تقویت شده با نانولوله‌های کربنی ($L/R=2, R/h=20, \varphi=30^\circ, SS$)

Table 7.

V_{CN}^*	توزیع نانو لوله	مرجع [۱۱]	کار حاضر
۰/۱۲	UD	۶/۰۰	۵/۹۸۸
	FGA	۵/۸۹	۵/۸۶۱
	FGX	۶/۶۱	۶/۶۰۵
۰/۱۷	UD	۷/۵۱	۷/۴۹۳
	FGA	۷/۴۳	۷/۴۱۵
	FGX	۸/۲۹	۸/۲۸۴

حجمی مختلف تحت بار حرارتی اولیه رسم شده است. همچنین توزیع نانولوله در راستای ضخامت یکنواخت فرض شده است و تکیه‌گاه ساده در نظر گرفته شده است. همانطور که از شکل‌های ۲ و ۳ مشخص است، تغییرات اختلاف دما بر فرکانس پایه پوسته مخروطی ناقص نشان می‌دهد که با افزایش زاویه راس مخروط پایداری پوسته کاهش می‌یابد. برخلاف انتظار افزایش کسر حجمی لزوماً موجب روند افزایش دمای بحرانی کماتش نمی‌شود. برای حالتی که اختلاف دما صفر می‌باشد بیشترین فرکانس پایه پوسته برای حالتی است که $V_{CN}^*=0/28$ ، اما با افزایش دما پوسته مخروطی با کسر حجمی $V_{CN}^*=0/28$ زودتر دچار کماتش می‌گردد و بیشترین مقدار دمای بحرانی کماتش برای حالتی است که $V_{CN}^*=0/17$ می‌باشد.

تغییرات فرکانس طبیعی پایه پوسته مخروطی تقویت شده با نانولوله‌های کربنی مدرج تابعی برحسب بارگذاری حرارتی اولیه به ازای نسبت‌های

ازای بار حرارتی اولیه مختلف، شرایط مرزی متفاوت، تاثیر نیم زاویه راس مخروط، تاثیر نسبت طول به شعاع و همچنین نسبت ضخامت به شعاع و تاثیر درصد کسر حجمی و توزیع نوع نانولوله را مورد بررسی قرار داد.

در جدول ۸، تاثیر شرایط مرزی بر فرکانس پایه پوسته مورد بررسی قرار گرفته است. همانطور که مشاهده می‌شود که در نسبت طول به شعاع $L/R_1=4$ ، شرایط مرزی تاثیر بسزایی بر رفتار ارتعاشی سازه داشته، و در نتیجه بیشترین فرکانس پایه برای شرایط مرزی (FS) و کمترین مقدار فرکانس مربوط به شرایط مرزی می‌باشد. علاوه بر این ملاحظه می‌گردد نوع توزیع نانولوله‌های کربنی در راستای ضخامت در تمامی حالات روند یکسانی داشته، به گونه‌ای که نوع FGA و FGX به ترتیب بیشترین و کمترین مقدار فرکانس پایه را دارند.

در شکل‌های ۲ و ۳ تغییرات فرکانس طبیعی براساس نسبت کسر

جدول ۸: فرکانس پایه پوسته مخروطی تقویت شده با نانولوله‌های کربنی تحت شرایط مرزی مختلف
 $(L/R_1=4, R_1/h=20, \varphi=15^\circ, V_{CN}^*=0/17)$

Table8.

<i>FGA</i>	<i>FGV</i>	<i>FGX</i>	<i>UD</i>	<i>B.C</i>	$\Delta T(K)$
۵۶/۴۲	۵۸/۶۳	۶۱/۲۳	۵۸/۰۹	<i>C-C</i>	۵/۹۸۸
۴۹/۱۳	۵۰/۱۲	۵۳/۱۴	۵۰/۰۳	<i>C-S</i>	۵/۸۶۱
۴۲/۸۹	۴۶/۱۱	۴۷/۹۶	۴۵/۵۴	<i>S-S</i>	۶/۶۰۵
۱۸/۴۶	۲۰/۹۲	۲۲/۳۱	۲۰/۷۵	<i>C-F</i>	۷/۴۹۳
۱۴/۶۵	۱۶/۸۹	۱۷/۶۴	۱۶/۵۴	<i>F-S</i>	۷/۴۱۵
۵۰/۶۱	۵۲/۰۱	۵۴/۳۸	۵۱/۶۹	<i>C-C</i>	۳۹۵/۹۱
۴۱/۴۱	۴۴/۱۲	۴۶/۱۸	۴۳/۰۲	<i>C-S</i>	۴۱۹/۸۸
۳۵/۰۳	۳۹/۱۲	۴۱/۰۹	۳۸/۸۷	<i>S-S</i>	۴۴۱/۹۴
۱۳/۲۱	۱۴/۶۶	۱۷/۰۳	۱۴/۵۷	<i>C-F</i>	۴۰۹/۹۸
۱۰/۹۸	۱۳/۴۸	۱۴/۹۴	۱۳/۱۹	<i>F-S</i>	۴۰۳/۷۵

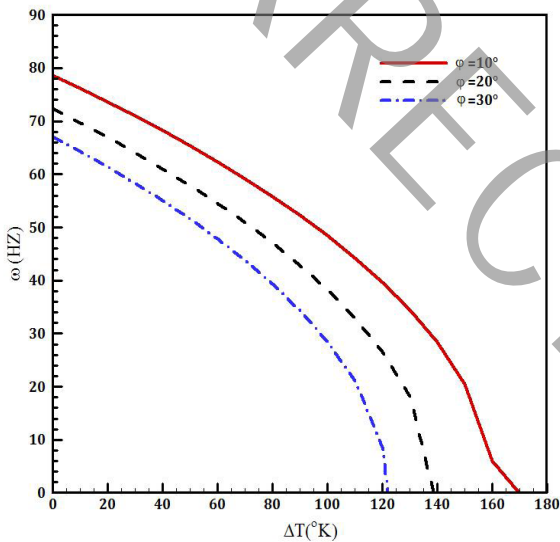


Fig. 3.

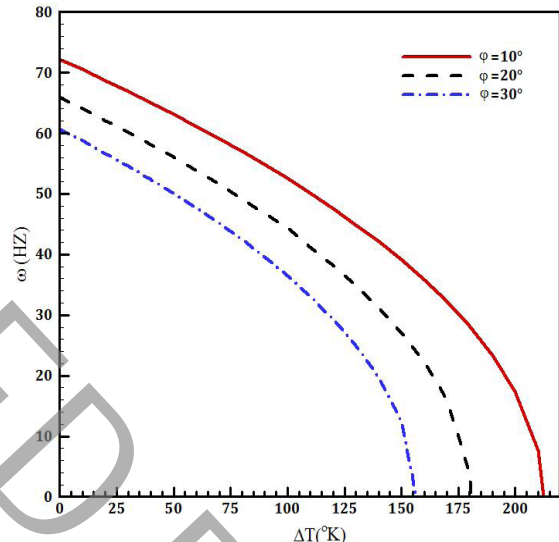


Fig. 2.

شکل ۳: تاثیر زاویه مخروط و نانولوله‌های کربنی بر فرکانس پایه پوسته مخروطی با بار حرارتی اولیه.

$$(L/R_1=2, h/R_1=1/40, V_{CN}^*=%28 UD)$$

کمانش ندارد.

تغییرات فرکانس طبیعی پایه پوسته مخروطی تقویت شده با نانولوله‌های کربنی مدرج تابعی برحسب بارگذاری حرارتی اولیه به ازای نسبت‌های مختلف ضخامت به شعاع در شکل‌های ۶ و ۷ برای چهار نوع توزیع نانولوله نشان داده شده است. همانطور که مشاهده می‌شود، بیشترین و کمترین پایداری پوسته بر اساس توزیع نانولوله به ترتیب مربوط به *FGX* و *FGA* می‌باشد و هر چه نسبت ضخامت به شعاع مخروط افزایش یابد،

شکل ۲: تاثیر زاویه مخروط و نانولوله‌های کربنی بر فرکانس پایه پوسته مخروطی با بار حرارتی اولیه.

$$(L/R_1=2, h/R_1=1/40, V_{CN}^*=%17 UD)$$

مختلف طول به شعاع در شکل‌های ۴ و ۵ نشان داده شده است. همانطور که از شکل استنباط می‌گردد، با افزایش بارگذاری حرارتی اولیه، فرکانس طبیعی کاهش می‌یابد اما نکته قابل توجه اینجاست که هر چه نسبت طول به شعاع کوچکتر باشد، تغییرات فرکانس بیشتر تحت تاثیر بارگذاری حرارتی اولیه قرار می‌گیرد و حتی در درجه حرارت‌های پایین نیز بارگذاری حرارتی اثر قابل توجهی بر فرکانس طبیعی دارد. همچنین در شکل‌های ۴ و ۵ مشاهده می‌گردد که افزایش نسبت طول به شعاع، تاثیر چندانی در دمای بحرانی

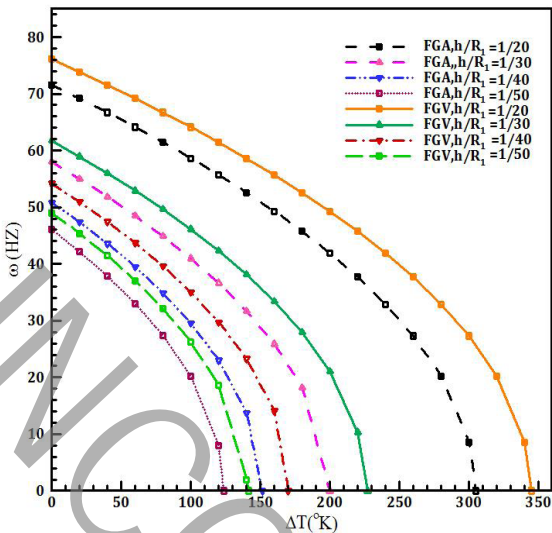


Fig. 6.

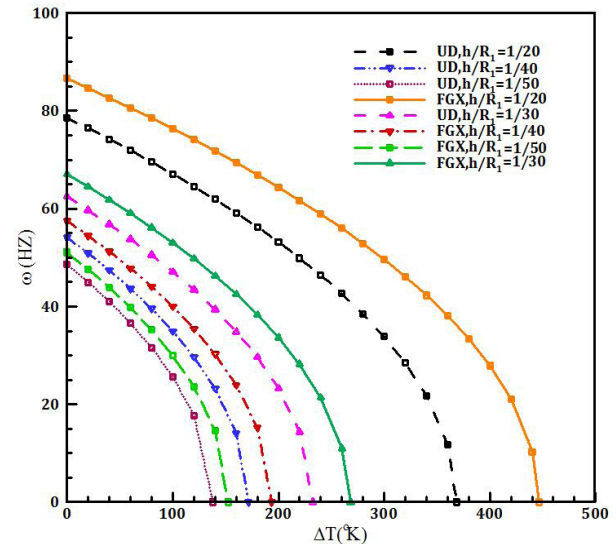


Fig. 4.

شکل ۶: بررسی فرکانس پایه پوسته مخروطی تقویت شده با نانولوله‌های کربنی تحت بار حرارتی اولیه با نسبت‌های ضخامت به شعاع مختلف. $(L/R_1=2, V_{CN}^*=12\%, \varphi=15^\circ SS)$

شکل ۴: بررسی فرکانس پایه پوسته مخروطی تقویت شده با نانولوله‌های کربنی تحت بار حرارتی با نسبت‌های طول به شعاع مختلف. $(h/R_1=1/20, V_{CN}^*=12\%, \varphi=15^\circ, SS)$

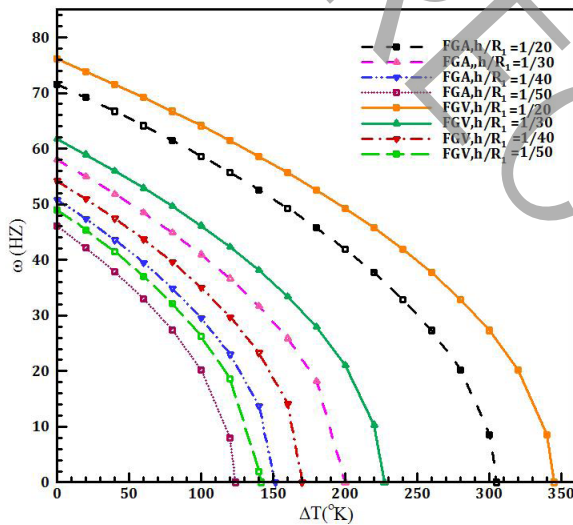


Fig. 7.

شکل ۷: بررسی فرکانس پایه پوسته مخروطی تقویت شده با نانولوله‌های کربنی تحت بار حرارتی اولیه با نسبت‌های ضخامت به شعاع مختلف. $(L/R_1=2, V_{CN}^*=12\%, \varphi=15^\circ SS)$

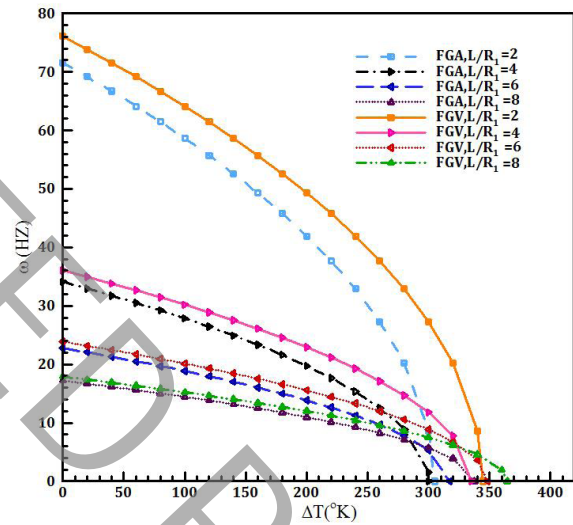


Fig. 5.

شکل ۵: بررسی فرکانس پایه پوسته مخروطی تقویت شده با نانولوله‌های کربنی تحت بار حرارتی با نسبت‌های طول به شعاع مختلف. $(h/R_1=1/20, V_{CN}^*=12\%, \varphi=15^\circ, SS)$

پوسته با فرکانس بیشتری ارتعاش می‌کند و در نتیجه پایداری پوسته تحت بار حرارتی اولیه افزایش می‌یابد.

شکل‌های ۸ تا ۱۱ تغییرات فرکانس پایه پوسته مخروطی ساخته شده از نانوکامپوزیت مدرج تابعی برحسب بارگذاری حرارتی اولیه به ازای نسبت‌های مختلف طول به شعاع، دو نوع شرایط مرزی و دو مقدار نسبت حجمی نانولوله را نشان می‌دهد.

همانطور که از شکل‌های ۸ تا ۱۱ مشخص است، با افزایش بارگذاری حرارتی اولیه، فرکانس طبیعی کاهش می‌یابد اما نکته قابل توجه اینجاست که هرچه نسبت طول به شعاع کوچکتر باشد، تغییرات فرکانس بیشتر تحت تاثیر بارگذاری حرارتی اولیه قرار می‌گیرد و حتی در درجه حرارت‌های پایین، بارگذاری حرارتی اثر قابل توجهی بر فرکانس طبیعی دارد. شرایط مرزی بر فرکانس طبیعی پوسته مخروطی تاثیر بسزایی بر رفتار ارتعاشی سازه

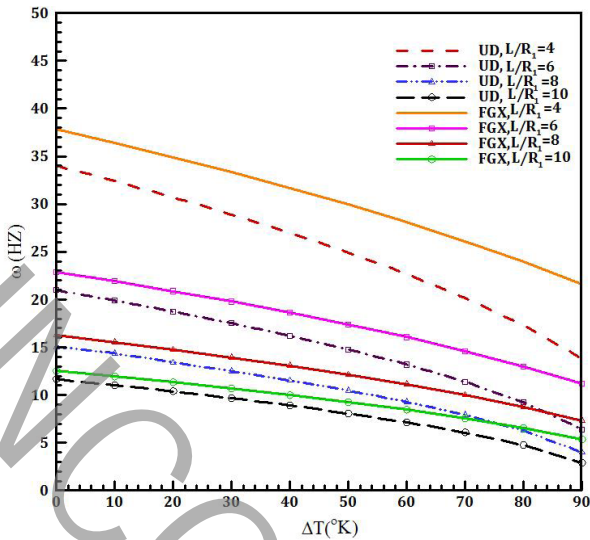


Fig. 10.

شکل ۱۰: بررسی فرکانس پایه پوسته مخروطی تقویت شده با نانولوله‌های کربنی تحت بار حرارتی.
 $(R/h=50, V_{CN}^*=28\%, \varphi=30^\circ C-C)$

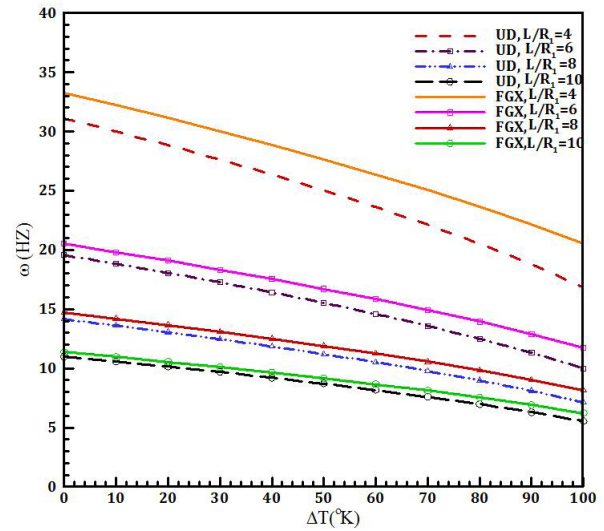


Fig. 8.

شکل ۸: بررسی فرکانس پایه پوسته مخروطی تقویت شده با نانولوله‌های کربنی تحت بار حرارتی.
 $(R/h=50, V_{CN}^*=17\%, \varphi=30^\circ C-C)$

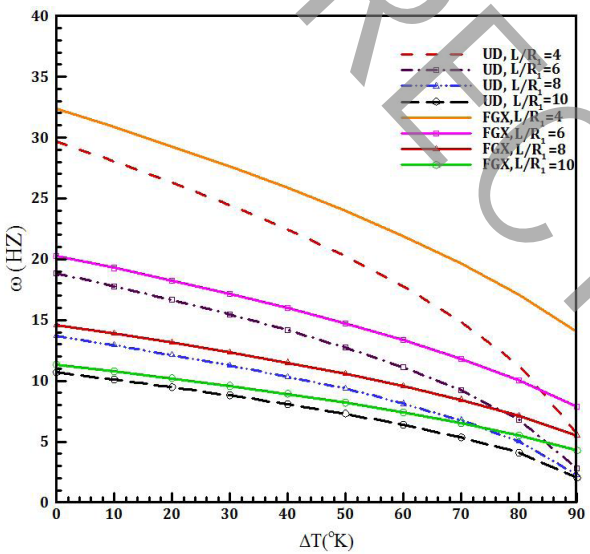


Fig. 11.

شکل ۱۱: بررسی فرکانس پایه پوسته مخروطی تقویت شده با نانولوله‌های کربنی تحت بار حرارتی.
 $(R/h=50, V_{CN}^*=28\%, \varphi=30^\circ C-S)$

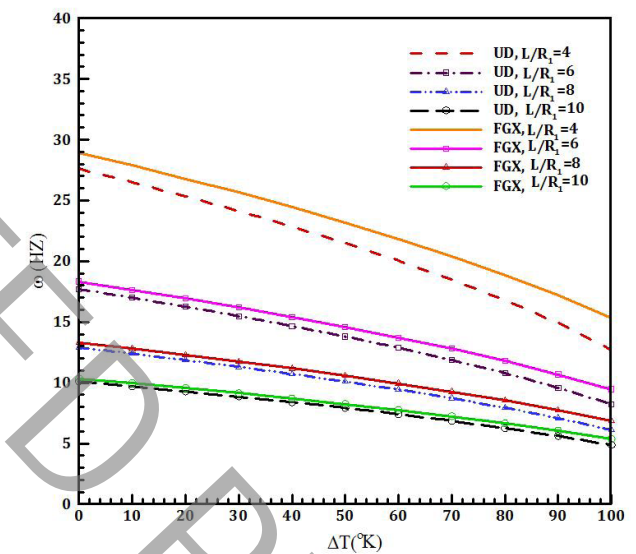


Fig. 9.

شکل ۹: بررسی فرکانس پایه پوسته مخروطی تقویت شده با نانولوله‌های کربنی تحت بار حرارتی.
 $(R/h=50, V_{CN}^*=17\%, \varphi=30^\circ C-S)$

داشته، به گونه‌ای که با شرط مرزی تکیه‌گاه گیردار در دو انتها (CC) پوسته بیشترین پایداری را داشته و در نتیجه بیشترین فرکانس طبیعی را دارد. از طرفی ملاحظه می‌گردد که نوع توزیع نانو لوله‌های کربنی در راستای ضخامت در تمامی حالت روند یکسانی داشته، به گونه‌ای که نوع FGX و FGA به ترتیب بیشترین و کمترین فرکانس طبیعی را دارند. همانطور که مشاهده می‌شود با افزایش نسبت طول به شعاع پوسته برای شرایط مرزی

داشته، به گونه‌ای که با شرط مرزی تکیه‌گاه گیردار در دو انتها (CC) پوسته بیشترین پایداری را داشته و در نتیجه بیشترین فرکانس طبیعی را دارد. از طرفی ملاحظه می‌گردد که نوع توزیع نانو لوله‌های کربنی در راستای ضخامت در تمامی حالت روند یکسانی داشته، به گونه‌ای که نوع FGX و FGA به ترتیب بیشترین و کمترین فرکانس طبیعی را دارند. همانطور که مشاهده می‌شود با افزایش نسبت طول به شعاع پوسته برای شرایط مرزی

می‌یابد و با افزایش نسبت ضخامت به شعاع، فرکانس پوسته افزایش می‌یابد. همانطور که از نمودار مشخص است نتایج حاضر به نتایج تحلیل آباکوس بسیار نزدیک می‌باشد و این صحت انجام تحلیل را نشان می‌دهد.

۷- نتیجه‌گیری

از میان مهم‌ترین یافته‌های نتایج عددی، می‌توان به موارد زیر اشاره کرد:

- نسبت ارتوتروپی تاثیر قابل توجهی بر فرکانس پوسته دارد. این اثر برای پوسته‌های کوتاه‌تر بیشتر مشهود است. با افزایش طول مخروط، منحنی‌های فرکانس تمایل به همگرا شدن دارند. هرچه نسبت ارتوتروپی بزرگتر باشد، پوسته منعطف‌تر و با فرکانس کوچکتری ارتعاش می‌نماید.
- با افزایش زاویه راس مخروط فرکانس پایه پوسته مخروطی کاهش می‌یابد و باعث کاهش پایداری پوسته مخروطی می‌گردد
- هرچه قدر درصد حجمی پوسته مخروطی تقویت شده با نانولوله‌های کربنی بیشتر باشد برای اختلاف دمای صفر، بیشترین فرکانس پایه پوسته برای حالت 0.28 تقویت شده با نانولوله کربنی اتفاق می‌افتد. ولی با افزایش دما پایداری پوسته مخروطی برای 0.28 تقویت شده با نانولوله کربنی نسبت به حالت 0.12 و 0.17 کمتر می‌شود و پوسته مخروطی دچار کماتش می‌گردد و بیشترین دمای بحرانی کماتش مربوط به کسر درصد حجمی 0.17 نانولوله می‌باشد.
- بیشترین مقدار فرکانس پایه برای حالت توزیع حالت اتفاق FGX می‌یابد.
- با افزایش درجه حرارت به دلیل به وجود آمدن تنش‌های حرارتی اولیه فرکانس پوسته مخروطی کاهش می‌یابد.
- هر چه نسبت طول به شعاع کوچکتر باشد، تغییرات فرکانس بیشتر تحت تاثیر بارگذاری حرارتی اولیه قرار می‌گیرد و حتی در دماهای پایین نیز بارگذاری حرارتی اثر قابل توجهی بر فرکانس طبیعی دارد. همچنین افزایش نسبت طول به شعاع، تاثیر چندانی در دمای بحرانی کماتش ندارد.
- هر چه نسبت ضخامت به شعاع مخروط افزایش یابد، پوسته با فرکانس بیشتری ارتعاش می‌کند و در نتیجه پایداری پوسته تحت بار حرارتی اولیه افزایش می‌یابد.

پیوست ۱

$$L_{11} = A_{11} \frac{\partial^2}{\partial x^2} + \frac{A_{11} \sin(\varphi)}{R(x)} \frac{\partial}{\partial x} - \frac{A_{22} \sin^2(\varphi)}{R^2(x)} + \frac{A_{66}}{R^2(x)} \frac{\partial^2}{\partial \theta^2}$$

در شکل‌های ۱۲ و ۱۳ به بررسی فرکانس پایه پوسته مخروطی تقویت شده با نانولوله‌های کربنی پرداخته شده است و سپس نتایج حاضر با نتایج تحلیل آباکوس بررسی شده است. همانطور که از شکل‌های ۱۲ و ۱۳ مشخص است، با افزایش نسبت طول به شعاع مخروط فرکانس پایه کاهش

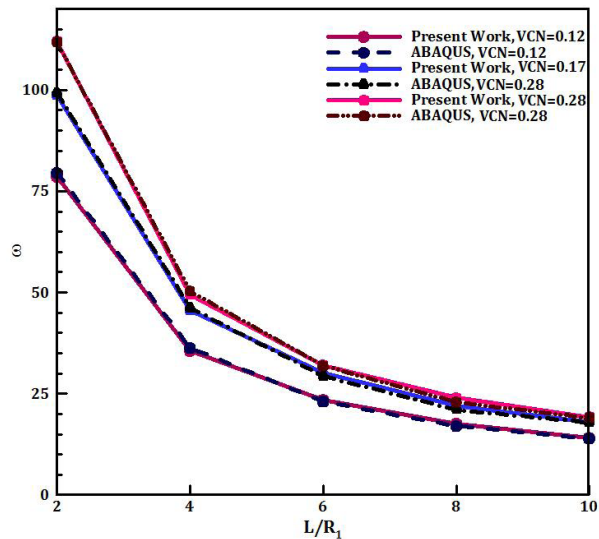


Fig. 12.

شکل ۱۲: تاثیر نسبت طول به شعاع مختلف بر روی فرکانس پوسته مخروطی (Hz).

$(h/R_1=1/20, R_1=1m, \varphi=15^\circ, \Delta T=0K, SS, UD)$

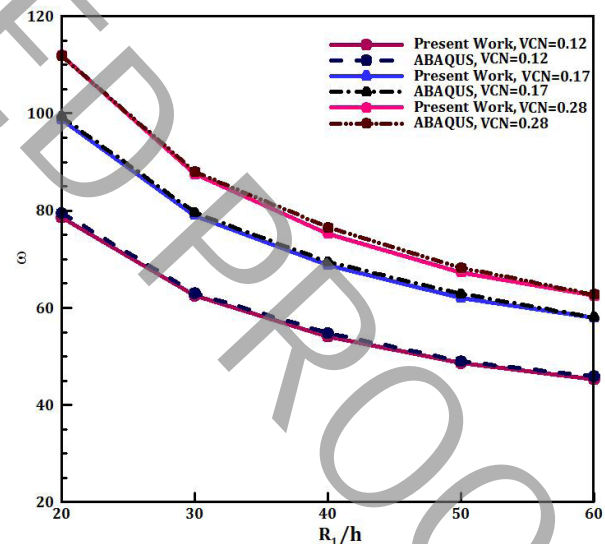


Fig. 13.

شکل ۱۳: تاثیر نسبت شعاع به ضخامت مختلف بر روی فرکانس پوسته مخروطی (Hz).

$(L/R_1=2, R_1=1m, \varphi=15^\circ, \Delta T=0K, SS, UD)$

$$L_{32} = - \left(\frac{A_{22} \cos(\varphi)}{R^2(x)} + \frac{B_{22} \cos^2(\varphi) - (B_{22} + 2B_{66}) \sin^2(\varphi)}{R^3(x)} - \frac{(2D_{12} + 2D_{22} + 8D_{66}) \cos(\varphi) \sin^2(\varphi)}{R^4(x)} \right) \frac{\partial}{\partial \theta} \\ + \left(\frac{B_{22}}{R^3(x)} + \frac{D_{22} \cos(\varphi)}{R^4(x)} \right) \frac{\partial^3}{\partial \theta^3} + \left(\frac{B_{12} + 2B_{66}}{R(x)} + \frac{(D_{12} + 4D_{66}) \cos(\varphi)}{R^2(x)} \right) \frac{\partial^3}{\partial x^2 \partial \theta} \\ - \left(\frac{(D_{22} + 2D_{12} + 8D_{66}) \cos(\varphi) \sin(\varphi)}{R^2(x)} + \frac{(B_{22} + 2B_{66}) \sin(\varphi)}{R^2(x)} \right) \frac{\partial^2}{\partial x \partial \theta}$$

$$L_{33} = - \frac{A_{22} \cos^2(\varphi)}{R^2(x)} + \frac{2B_{12} \cos(\varphi)}{R(x)} + \frac{2B_{22} \cos(\varphi)}{R^3(x)} \frac{\partial^2}{\partial \theta^2} + \\ \frac{B_{22} \cos(\varphi) \sin^2(\varphi)}{R^3(x)} - D_{11} \frac{\partial^4}{\partial x^4} - \frac{2(D_{12} + 2D_{66})}{R^2(x)} \frac{\partial^4}{\partial x^2 \partial \theta^2} - \\ \frac{D_{22}}{R^4(x)} \frac{\partial^4}{\partial \theta^4} - \frac{2D_{11} \sin(\varphi)}{R(x)} \frac{\partial^3}{\partial x^3} + \frac{2(D_{12} + 4D_{66}) \sin(\varphi)}{R^3(x)} \frac{\partial^3}{\partial x \partial \theta^2} + \\ \frac{D_{22} \sin^2(\varphi)}{R^2(x)} \frac{\partial^2}{\partial x^2} - \frac{2(D_{22} + D_{12} + 4D_{66}) \sin^2(\varphi)}{R^4(x)} \frac{\partial^2}{\partial \theta^2} - \frac{D_{22} \sin^3(\varphi)}{R^3(x)} \frac{\partial}{\partial x}$$

$$k_{11} = \frac{\int_0^L \int_0^{2\pi} L_{11} \{u\} u R(x) d\theta dx}{\int_0^L \int_0^{2\pi} u^2 R(x) d\theta dx},$$

$$k_{12} = \frac{\int_0^L \int_0^{2\pi} L_{11} \{v\} u R(x) d\theta dx}{\int_0^L \int_0^{2\pi} u^2 R(x) d\theta dx},$$

$$k_{13} = \frac{\int_0^L \int_0^{2\pi} L_{11} \{w\} u R(x) d\theta dx}{\int_0^L \int_0^{2\pi} u^2 R(x) d\theta dx},$$

$$k_{21} = \frac{\int_0^L \int_0^{2\pi} L_{11} \{u\} v R(x) d\theta dx}{\int_0^L \int_0^{2\pi} v^2 R(x) d\theta dx} \dots$$

$$k_{33} = \frac{\int_0^L \int_0^{2\pi} L_{33} \{w\} w R(x) d\theta dx}{\int_0^L \int_0^{2\pi} w^2 R(x) d\theta dx}$$

منابع

- [1] Mirzaei, M. and Y. Kiani. "Thermal buckling of temperature dependent FG-CNT reinforced composite conical shells". *Aerospace Science and Technology*, 47: 42-53, (2015).
- [2] Hua, L. "Frequency analysis of rotating truncated circular orthotropic conical shells with different boundary conditions." *Composites Science and Technology* 60(16): 2945-2955, 2000.
- [3] Li, F.-M., et al. "The calculations of 222 natural frequencies and forced vibration responses of conical shell using the Rayleigh-Ritz method." *Mechanics Research Communications* 36(5): 595-602, 2009.
- [4] Hosseini, M. and M. Talebitooti "Buckling analysis of moderately thick FG carbon nanotube reinforced

$$L_{12} = \frac{(A_{12} + A_{66})}{R(x)} \frac{\partial^2}{\partial x \partial \theta} - \frac{(A_{22} + A_{66}) \sin(\varphi)}{R^2(x)} \frac{\partial}{\partial \theta} + \\ \frac{(B_{12} + 2B_{66}) \cos(\varphi)}{R^2(x)} \frac{\partial^2}{\partial x \partial \theta} - \frac{(B_{12} + B_{22} + 2B_{66}) \cos(\varphi) \sin(\varphi)}{R^2(x)} \frac{\partial}{\partial \theta}$$

$$L_{13} = \frac{A_{12} \cos(\varphi)}{R(x)} \frac{\partial}{\partial x} - \frac{A_{22} \cos(\varphi) \sin(\varphi)}{R(x)} - B_{11} \frac{\partial^3}{\partial x^3} - \\ \frac{(B_{12} + 2B_{66})}{R^2(x)} \frac{\partial^3}{\partial x \partial \theta^2} - \frac{B_{11} \sin(\varphi)}{R(x)} \frac{\partial^2}{\partial x^2} + \\ \frac{(B_{12} + B_{22} + 2B_{66}) \sin(\varphi)}{R^3(x)} \frac{\partial^2}{\partial \theta^2} + \frac{B_{22} \sin^2(\varphi)}{R^2(x)} \frac{\partial}{\partial x}$$

$$L_{21} = \frac{(A_{12} + A_{66})}{R(x)} \frac{\partial^2}{\partial x \partial \theta} - \frac{(A_{22} + A_{66}) \sin(\varphi)}{R^2(x)} \frac{\partial}{\partial \theta} + \\ \frac{(B_{12} + 2B_{66}) \cos(\varphi)}{R^2(x)} \frac{\partial^2}{\partial x \partial \theta} + \frac{(B_{22} - B_{66}) \cos(\varphi) \sin(\varphi)}{R^2(x)} \frac{\partial}{\partial \theta}$$

$$L_{22} = A_{66} \left[\frac{\partial^2}{\partial x^2} + \frac{\sin(\varphi)}{R(x)} \frac{\partial}{\partial x} - \frac{\sin^2(\varphi)}{R^2(x)} \right] + \\ \left(\frac{A_{22}}{R^2(x)} + \frac{2B_{22} \cos(\varphi)}{R^3(x)} + \frac{D_{22} \cos^2(\varphi)}{R^4(x)} \right) \frac{\partial^2}{\partial \theta^2} + \\ \frac{B_{66} \cos(\varphi)}{R(x)} \left[3 \frac{\partial^2}{\partial x^2} - \frac{\sin(\varphi)}{R(x)} \frac{\partial}{\partial x} - \frac{\sin^2(\varphi)}{R^2(x)} \right] + \\ \frac{2D_{66} \cos^2(\varphi)}{R^2(x)} \left[\frac{\partial^2}{\partial x^2} - \frac{2 \sin(\varphi)}{R(x)} \frac{\partial}{\partial x} + \frac{2 \sin^2(\varphi)}{R^2(x)} \right]$$

$$L_{23} = \left(\frac{A_{22} \cos(\varphi)}{R^2(x)} + \frac{B_{22} \cos^2(\varphi)}{R^3(x)} - \frac{4D_{66} \cos(\varphi) \sin(\varphi)}{R^4(x)} \right) \frac{\partial}{\partial \theta}$$

$$\left(\frac{B_{22}}{R^3(x)} + \frac{D_{22} \cos(\varphi)}{R^4(x)} \right) \frac{\partial^3}{\partial \theta^3} - \\ \left(\frac{B_{22} \sin(\varphi)}{R^2(x)} + \frac{(D_{22} - 4D_{66}) \cos(\varphi) \sin(\varphi)}{R^3(x)} \right) \frac{\partial^2}{\partial x \partial \theta} - \\ \frac{(D_{12} + 2D_{66}) \cos(\varphi)}{R^2(x)} + \frac{(B_{12} + 2B_{66})}{R(x)} \frac{\partial^3}{\partial x \partial \theta^2}$$

$$L_{31} = - \frac{A_{12} \cos(\varphi)}{R(x)} \frac{\partial}{\partial x} - \frac{A_{22} \cos(\varphi) \sin(\varphi)}{R(x)} + B_{11} \frac{\partial^3}{\partial x^3} + \\ \frac{(B_{12} + 2B_{66})}{R^2(x)} \frac{\partial^3}{\partial x \partial \theta^2} + \frac{2B_{11} \sin(\varphi)}{R(x)} \frac{\partial^2}{\partial x^2} + \frac{(B_{22} - 2B_{66}) \sin(\varphi)}{R^3(x)} \frac{\partial^2}{\partial \theta^2} - \\ \frac{B_{22} \sin^2(\varphi)}{R^2(x)} \frac{\partial}{\partial x} + \frac{B_{22} \sin^3(\varphi)}{R^3(x)} \frac{\partial}{\partial x}$$

- [11] Ansari, R., et al. "Free vibration analysis of embedded functionally graded carbon nanotube-reinforced composite conical/cylindrical shells and annular plates using a numerical approach." *Journal of Vibration and Control*, 2016.
- [12] Mehri, M., et al. "Buckling and vibration analysis of a pressurized CNT reinforced functionally graded truncated conical shell under an axial compression using HDQ method." *Computer Methods in Applied Mechanics and Engineering* 303: 75-100, 2016.
- [13] Ansari, R., et al. "Buckling analysis of axially-loaded functionally graded carbon nanotube-reinforced composite conical panels using a novel numerical method." *Composite Structures* 157: 398-411, 2016.
- [14] Jooybar, N., et al. "Vibration of functionally graded carbon nanotubes reinforced composite truncated conical panels with elastically restrained against rotation edges in thermal environment." *Composites Part B: Engineering* 106: 242-261, 2016.
- [15] Rahimi, G. H., et al. "Vibration of functionally graded cylindrical shells with ring support." *Scientia Iranica* 18(6): 1313-1320, 2011.
- [16] Moradi-Dastjerdi, R., et al. "Dynamic analysis of functionally graded nanocomposite cylinders reinforced by carbon nanotube by a mesh-free method." *Materials & Design* 44: 256-266, 2013.
- composite conical shells under axial compression by DQM." *Mechanics of Advanced Materials and Structures*: 1-10, 2017.
- [5] Shen, H.-S. "Thermal buckling and postbuckling behavior of functionally graded carbon nanotube-reinforced composite cylindrical shells." *Composites Part B: Engineering* 43(3): 1030-1038.
- [6] Torabi, j. and R. Ansari. "Thermal buckling of functionally graded carbon nanotube-reinforced composite conical shells." *Modares Mechanical Engineering* 15(10): 137-146, 2015
- [7] Shu, C. " Free vibration analysis of composite laminted conical shells by generalized differntial quadrature." *Journal of Sound and Vibration* 194(4): 587-604, 1996.
- [8] Torabi, j. and R. Ansari. "Free vibration analysis of FG-CNTRC cylindrical shells surrounded by elastic foundation subjected to thermal loading." 194: 271-282, 2015.
- [9] Ansari, R., et al. "Analysis of functionally graded carbon nanotube-reinforced composite spherical shells resting on elastic foundation using the variation differential quadrature method." *European Journal of Mechanics - A/Solids* 60: 166-182, 2016.
- [10] Jam, J. E. and Y. Kiani "Buckling of pressurized functionally graded carbon nanotube reinforced conical shells". *Composite Structures* 125:586-595, 2015.